

АНАЛИЗ СОБСТВЕННЫХ ЧАСТОТ И ФОРМ КОЛЕБАНИЙ ЖИДКОСТИ В ПРЯМОУГОЛЬНОЙ ОБЛАСТИ В ДВУХМЕРНОЙ ЗАДАЧЕ

© 2007 В.И. Астафьев¹, А.Б. Прокофьев², Е.В. Шахматов²

¹ Самарский государственный университет

² Самарский государственный аэрокосмический университет

Представлена математическая модель для расчета собственных частот и форм колебаний жидкости (газа) в сечении канала прямоугольной формы при формулировании краевых условий в общем виде. Рассмотрены частные случаи краевых условий: абсолютно жесткие стенки канала и упругие стенки канала. Приведены некоторые результаты моделирования на основе разработанной математической модели.

В настоящее время большое распространение получили численные методы анализа собственных частот и форм колебаний, что обусловлено высокой производительностью вычислительной техники. Однако наиболее общие закономерности изучаемых явлений позволяют выявить лишь аналитические методы, предоставляющие возможность получить решение задачи в общем виде. В настоящей работе предложена аналитическая модель для расчета собственных форм и частот колебаний жидкости в прямоугольном канале в двухмерной постановке.

Колебательное движение с малыми амплитудами в сжимаемой жидкости (или газе) в двухмерном случае описывается волновым уравнением [1]:

$$\frac{\partial^2 \varphi}{\partial x^2} + \frac{\partial^2 \varphi}{\partial y^2} = \frac{1}{c^2} \frac{\partial^2 \varphi}{\partial t^2}, \quad (1)$$

где c – скорость звука в среде.

Геометрия области представлена на рис. 1. Жидкость ограничена прямоугольными границами с координатами $x = \pm a$ и $y = \pm b$, краевые условия на которых записываются в общем виде:

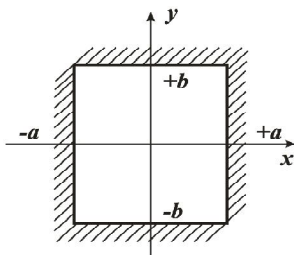


Рис. 1. Геометрия решаемой задачи

$$\left. \begin{aligned} k_1^\pm \frac{\partial \varphi}{\partial x} + k_2^\pm \varphi &= 0 \text{ при } x = \pm a, -b < y < b, \\ l_1^\pm \frac{\partial \varphi}{\partial y} + l_2^\pm \varphi &= 0 \text{ при } y = \pm b, -a < x < a. \end{aligned} \right\}, \quad (2)$$

где $k_1^\pm(y)$, $k_2^\pm(y)$, $l_1^\pm(x)$, $l_2^\pm(x)$ – заданные величины, $\varphi(x, y, t)$ – потенциал скорости,

т.е. $v_x = \frac{\partial \varphi}{\partial x}$, $v_y = \frac{\partial \varphi}{\partial y}$.

Решение задачи будем искать в виде:

$$\varphi(x, y, t) = \varphi_0(x, y)e^{j\omega t},$$

где ω – собственная частота системы;

$\varphi_0(x, y)$ – собственная форма колебаний системы.

Воспользуемся одним из наиболее распространенных методов решения уравнений с частными производными – методом разделения переменных (методом Фурье) [2]. Собственные формы колебаний будем искать в виде произведения

$$\varphi_0(x, y) = X(x) \cdot Y(y), \quad (3)$$

где $X(x) = a_1 \cos \alpha x + a_2 \sin \alpha x$, (4)

$$Y(y) = b_1 \cos \beta y + b_2 \sin \beta y, \quad (5)$$

$a_1, a_2, b_1, b_2, \alpha, \beta$ – неизвестные искомые величины.

Из (4) и (5) получаем:

$$\frac{\partial^2 X(x)}{\partial x^2} = -\alpha^2 X(x). \quad (6)$$

$$\frac{\partial^2 Y(y)}{\partial y^2} = -\beta^2 Y(y). \quad (7)$$

Подставляя (3) - (7) в уравнение (1), после преобразований получим:

$$\alpha^2 + \beta^2 = \frac{\omega^2}{c^2}. \quad (8)$$

Таким образом, мы получили соотношение, связывающее собственную частоту колебаний ω с параметрами α и β , определяемыми собственными формами колебаний.

Вернемся к рассмотрению краевых условий. При этом рассмотрим только краевые условия на границе $x = \pm a$, поскольку все преобразования для $y = \pm b$ будут аналогичны.

Краевые условия при $x = \pm a$ с учетом (4) можно переписать в виде:

$$k_1^\pm (\mp a_1 \alpha \sin \alpha a + a_2 \alpha \cos \alpha a) + k_2^\pm (a_1 \cos \alpha a \pm a_2 \sin \alpha a) = 0. \quad (9)$$

Умножим (9) на a и обозначим $M = \alpha a$.

Тогда после преобразований можно записать:

$$a_1 (\mp k_1^\pm M \sin M + k_2^\pm a \cos M) + a_2 (k_1^\pm M \cos M \pm k_2^\pm a \sin M) = 0.$$

Последнюю систему уравнений можно переписать в виде:

$$\left. \begin{aligned} A_{11} a_1 + A_{12} a_2 &= 0, \\ A_{21} a_1 + A_{22} a_2 &= 0; \end{aligned} \right\} \quad (10)$$

где

$$\left. \begin{aligned} A_{11} &= -k_1^+ M \sin M + k_2^+ a \cos M, \\ A_{12} &= k_1^+ M \cos M + k_2^+ a \sin M, \\ A_{21} &= k_1^- M \sin M + k_2^- a \cos M, \\ A_{22} &= k_1^- M \cos M - k_2^- a \sin M. \end{aligned} \right\} \quad (11)$$

Система двух однородных уравнений (10) для двух неизвестных a_1 и a_2 имеет ненулевое решение если

$$\Delta = \begin{vmatrix} A_{11} & A_{12} \\ A_{21} & A_{22} \end{vmatrix} = 0. \quad (12)$$

При этом одно из уравнений является следствием другого. Система сводится к одному уравнению и имеет бесчисленное множество решений, содержащихся в формуле:

$$a_2 = -a_1 \frac{A_{11}}{A_{12}} = -a_1 \frac{A_{21}}{A_{22}} \quad (\text{если } A_{12} A_{22} \neq 0), \quad (13)$$

или

$$a_1 = -a_2 \frac{A_{12}}{A_{11}} = -a_2 \frac{A_{22}}{A_{21}} \quad (\text{если } A_{11} A_{21} \neq 0). \quad (14)$$

Вернемся к выражению (12). Из него следует, что

$$A_{11} A_{22} - A_{12} A_{21} = 0. \quad (15)$$

Подставим в (15) выражения (11). После преобразований получим:

$$tg(2M) = \frac{k_1^- k_2^+ - k_1^+ k_2^-}{k_1^+ k_1^- M^2 + k_2^- k_2^+ a^2} aM. \quad (16)$$

Из уравнения (16) можно найти неизвестную переменную α , определяющую распределение потенциала скорости в направлении x при собственных колебаниях жидкости в прямоугольной области. Уравнение (16) имеет бесчисленное множество решений, каждое из которых соответствует своей собственной форме колебаний. На рис. 2 графически показано нахождение решений уравнения (16). Аналитическое решение этого уравнения в общем случае не представляется возможным, поэтому для нахождения параметра α , соответствующего собственным формам колебаний, целесообразно использовать численные методы.

Проводя аналогичные преобразования для краевых условий $y = \pm b$, можно получить:

$$tg(2N) = \frac{l_1^- l_2^+ - l_1^+ l_2^-}{l_1^+ l_1^- N^2 + l_2^- l_2^+ b^2} bN, \quad (17)$$

где $N = \beta b$.

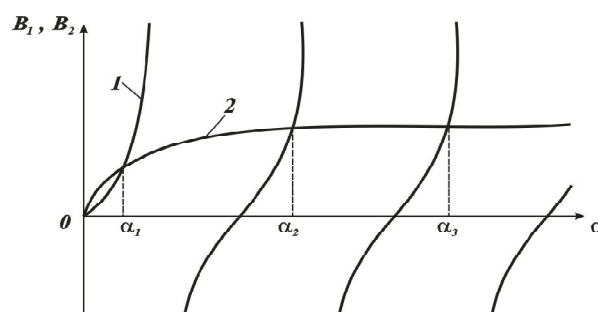


Рис. 2. Графическое нахождение решений уравнения (16):

$$1 - B_1 = tg(2M);$$

$$2 - B_2 = \frac{k_1^- k_2^+ - k_1^+ k_2^-}{k_1^+ k_1^- M^2 + k_2^- k_2^+ a^2} aM.$$

Таким образом, решив уравнения (16) и (17) при заданных k_1^\pm, k_2^\pm и l_1^\pm, l_2^\pm , можно найти собственные формы колебаний и поле потенциала скорости (с использованием выражений (3) и (4)), а после подстановки найденных значений α и β в (8) нетрудно определить соответствующую собственную частоту колебаний:

$$\omega = c\sqrt{\alpha^2 + \beta^2}.$$

Собственные формы и частоты колебаний складываются из любой комбинации решений уравнений (16) и (17). Порядковый номер решения любого из этих уравнений определяет число узловых линий в соответствующем направлении.

Так, для первого решения уравнения (16) (тривиальное нулевое решение здесь и в дальнейшем рассматривать не будем) узловых линий в направлении оси Y (вертикальных) нет, для следующего (второго) решения на поле распределения потенциала скорости появится одна узловая линия; для третьего решения – две узловые линии и т. д. Аналогичная ситуация будет наблюдаться и для решения уравнения (17). Однако в этом случае узловые линии будут располагаться горизонтально (в направлении оси X).

Рассмотрим частные случаи задачи (1)-(2). В случае абсолютно жестких, полностью отражающих акустические волны стенок канала граничные условия можно записать в виде:

$$\left. \begin{aligned} \frac{\partial \varphi}{\partial x} &= 0, \quad \text{при } x = \pm a, \\ \frac{\partial \varphi}{\partial y} &= 0, \quad \text{при } y = \pm b. \end{aligned} \right\}$$

Эти условия являются частным случаем (2) при $k_2^+ = k_2^- = l_2^+ = l_2^- = 0$. Тогда из (16) и (17) получаем:

$$\alpha = \frac{\pi n}{2a}, \quad \beta = \frac{\pi m}{2b},$$

где n и m – положительные целые числа.

Тогда выражение для определения собственных частот системы можно записать в виде:

$$\omega_{nm} = \frac{\pi c}{2} \sqrt{\frac{n^2}{a^2} + \frac{m^2}{b^2}}.$$

Получим соотношения для собственных форм колебаний. При этом все математические преобразования рассмотрим для составляющей $X(x)$. Рассуждения для $Y(y)$ со-

вершенно аналогичны. Здесь также отметим, что $X(x)$ и $Y(y)$ будем искать с точностью до постоянного множителя. Для определения $X(x)$ в форме (4) с точностью до постоянного множителя необходимо найти соотношение между a_1 и a_2 с использованием выражений (13) и (14). Выбор для использования выражений (13) или (14) определяется условием равенства нулю произведения $A_{12}A_{22}$ или $A_{11}A_{21}$. Из (13) для рассматриваемого частного случая, полагая $k_1^+ = k_1^- = 1$, можно записать:

$$\begin{aligned} A_{11} &= -\alpha a \sin(\alpha a) = -\frac{\pi n}{2} \sin\left(\frac{\pi n}{2}\right), \\ A_{12} &= \alpha a \cos(\alpha a) = \frac{\pi n}{2} \cos\left(\frac{\pi n}{2}\right), \\ A_{21} &= \alpha a \sin(\alpha a) = \frac{\pi n}{2} \sin\left(\frac{\pi n}{2}\right), \\ A_{22} &= \alpha a \cos(\alpha a) = \frac{\pi n}{2} \cos\left(\frac{\pi n}{2}\right). \end{aligned}$$

Тогда

$$\begin{aligned} A_{12}A_{22} &= \left(\frac{\pi n}{2}\right)^2 \cos^2\left(\frac{\pi n}{2}\right) = \\ &= \begin{cases} 0, & \text{если } n - \text{нечетное,} \\ \left(\frac{\pi n}{2}\right)^2, & \text{если } n - \text{четное;} \end{cases} \end{aligned}$$

$$\begin{aligned} A_{11}A_{21} &= -\left(\frac{\pi n}{2}\right)^2 \sin^2\left(\frac{\pi n}{2}\right) = \\ &= \begin{cases} -\left(\frac{\pi n}{2}\right)^2, & \text{если } n - \text{нечетное,} \\ 0, & \text{если } n - \text{четное.} \end{cases} \end{aligned}$$

Таким образом, в случае четного n для расчета $X(x)$ следует использовать выражение (13); в случае нечетного n – выражение (14).

Более подробно рассмотрим случай чет-

ного n . $\frac{A_{11}}{A_{12}} = -\text{tg}\left(\frac{\pi n}{2}\right)$ и так как n – чет-

ное, то $\frac{A_{11}}{A_{12}} = 0$. Аналогично

$\frac{A_{21}}{A_{22}} = \text{tg}\left(\frac{\pi n}{2}\right)$ и для рассматриваемого слу-

Таблица 1. Собственные частоты системы с абсолютно жесткими стенками

n	m	$f, \text{Гц}$	$f_{ANSYS}, \text{Гц}$	n	m	$f, \text{Гц}$	$f_{ANSYS}, \text{Гц}$
1	0	825	825	0	2	2200	2201
0	1	1100	1100	1	2	2350	2350
1	1	1375	1375	3	0	2475	2476
2	0	1650	1650	3	1	2708	2710
2	1	1983	1984	2	2	2750	2750

чая четного $n \frac{A_{21}}{A_{22}} = 0$. С учетом этого из выражения (13) получаем:

$$a_2 = 0.$$

Тогда составляющая $X(x)$ с точностью до постоянного множителя может быть записана в виде

$$X(x) = \cos \frac{\pi n x}{2a}, \text{ если } n - \text{четное.}$$

Аналогично для случая нечетного n имеем:

$$a_1 = 0, X(x) = \sin \frac{\pi n x}{2a}, \text{ если } n - \text{нечетное.}$$

Итак, с учетом вышесказанного можно записать:

$$X(x) = \begin{cases} \cos \frac{\pi n x}{2a}, & \text{если } n - \text{четное,} \\ \sin \frac{\pi n x}{2a}, & \text{если } n - \text{нечетное.} \end{cases}$$

Проводя аналогичные преобразования для $Y(y)$, получим:

$$Y(y) = \begin{cases} \cos \frac{\pi m y}{2b}, & \text{если } m - \text{четное,} \\ \sin \frac{\pi m y}{2b}, & \text{если } m - \text{нечетное.} \end{cases}$$

В качестве модельного примера рассмотрим канал прямоугольного сечения размерами $0,2 \times 0,15$ м и рассчитаем моды колебаний поперечного сечения при условии абсолютного отражения акустических волн от стенок. В качестве рабочей среды примем воздух ($c = 330$ м/с). Форму колебаний будем характеризовать числом линий n в вертикальном направлении (параллельных оси y) и числом узловых линий m в горизон-

тальном направлении (параллельных оси x). Для проверки адекватности разработанной аналитической модели проводится сравнение с результатами расчета этой же задачи методом конечных элементов на базе программного комплекса ANSYS. Результаты расчета по обеим моделям представлены в табл. 1.

Результаты расчета некоторых собственных форм колебаний для рассматриваемого модельного случая представлены на рис. 3.

Рассмотрим еще один частный случай данной задачи – упругие стенки канала. При этом предположим, что они представляют собой пластины, выполненные из одного и того же материала и имеющие одинаковую толщину. Тогда краевые условия можно записать в виде [3]:

$$\left. \begin{aligned} \frac{\partial^4 w_x^{\pm}}{\partial y^4} + \frac{\rho_0 h}{D} \frac{\partial^2 w_x^{\pm}}{\partial t^2} &= \frac{p_x^{\pm}}{D} \text{ при } x = \pm a, \\ \frac{\partial^4 w_y^{\pm}}{\partial x^4} + \frac{\rho_0 h}{D} \frac{\partial^2 w_y^{\pm}}{\partial t^2} &= \frac{p_y^{\pm}}{D} \text{ при } y = \pm b, \end{aligned} \right\}, (18)$$

где $w_x(y, t)$ – прогиб вертикальных стенок канала ($x = \pm a$),

$w_y(x, t)$ – прогиб горизонтальных стенок канала ($y = \pm b$),

$\frac{\partial w_x}{\partial t}, \frac{\partial w_y}{\partial t}$ – виброскорость стенок канала:

$$\left. \begin{aligned} \frac{\partial w_x^{\pm}}{\partial t} &= \frac{\partial \varphi}{\partial x} \Big|_{x=\pm a}, \\ \frac{\partial w_y^{\pm}}{\partial t} &= \frac{\partial \varphi}{\partial y} \Big|_{y=\pm b} \end{aligned} \right\}, (19)$$

ρ_0 – плотность материала стенок канала;
 h – толщина стенок канала;
 D – цилиндрическая жесткость пластины на изгиб:

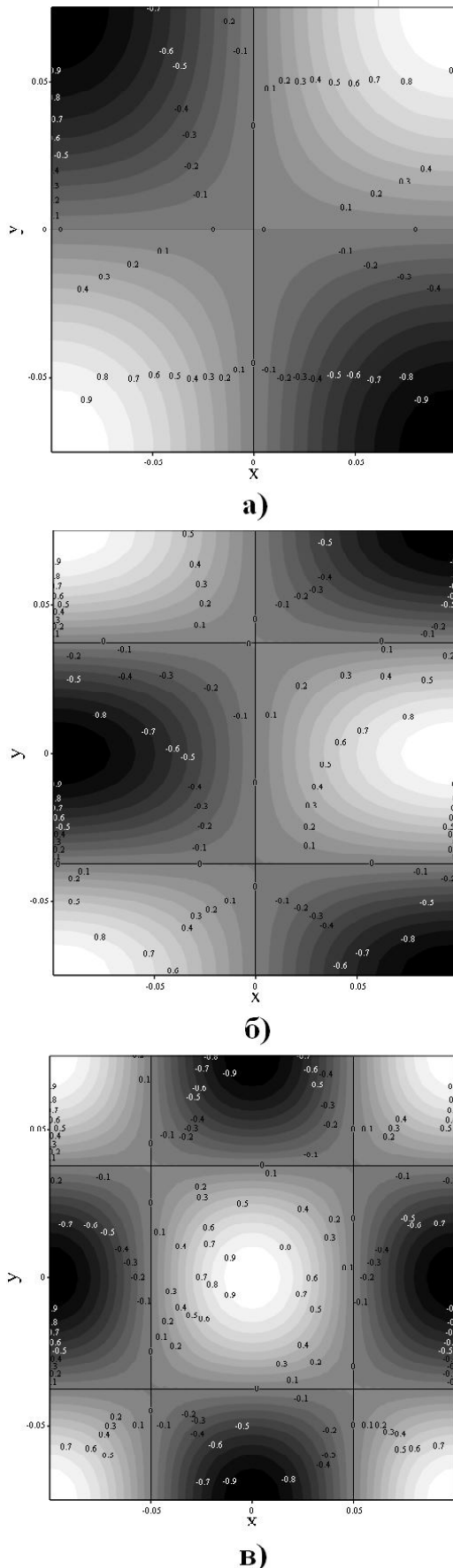


Рис. 3. Собственные формы колебаний исследуемой области ($a=0,1$; $b=0,075$ м) с абсолютно жесткими стенками:
 а – $n=m=1$; б – $n=1$; $m=2$; в – $n=2$; $m=2$;
 — узловые линии

$$D = \frac{Eh^3}{12(1-\nu^2)},$$

E – модуль упругости стенок канала;
 ν – коэффициент Пуассона;

$$p_x^\pm = -\rho \frac{\partial \varphi}{\partial t} \Big|_{x=\pm a}, \quad p_y^\pm = -\rho \frac{\partial \varphi}{\partial t} \Big|_{y=\pm b} \quad [2],$$

ρ – плотность рабочей среды.

Рассмотрим преобразования краевых условий (18) для $x = \pm a$. Преобразования краевых условий для $y = \pm b$ будут совершенно аналогичны. Проинтегрируем первые два выражения из (18) по времени:

$$\frac{\partial^4}{\partial y^4} \left(\frac{\partial w_x^\pm}{\partial t} \right) + \frac{\rho_0 h}{D} \frac{\partial^2}{\partial t^2} \left(\frac{\partial w_x^\pm}{\partial t} \right) = -\frac{\rho}{D} \frac{\partial^2 \varphi}{\partial t^2} \Big|_{x=\pm a}. \quad (20)$$

С учетом (19) выражение (20) можно переписать в виде:

$$\left. \begin{aligned} \frac{\partial^4}{\partial y^4} \left(\frac{\partial \varphi}{\partial x} \right) + \frac{\rho_0 h}{D} \frac{\partial^2}{\partial t^2} \left(\frac{\partial \varphi}{\partial x} \right) &= -\frac{\rho}{D} \frac{\partial^2 \varphi}{\partial t^2} \Big|_{x=+a}, \\ - \left[\frac{\partial^4}{\partial y^4} \left(\frac{\partial \varphi}{\partial x} \right) + \frac{\rho_0 h}{D} \frac{\partial^2}{\partial t^2} \left(\frac{\partial \varphi}{\partial x} \right) \right] &= -\frac{\rho}{D} \frac{\partial^2 \varphi}{\partial t^2} \Big|_{x=-a} \end{aligned} \right\}. \quad (21)$$

Поскольку, как и прежде, мы ищем решение задачи в гармоническом виде:

$$\frac{\partial^2 \varphi}{\partial t^2} = -\omega^2 \varphi_0(x, y) e^{j\omega t} = -\omega^2 \varphi. \quad (22)$$

Подставляя (22) в (21), получим:

$$\left. \begin{aligned} \frac{\partial^4}{\partial y^4} \left(\frac{\partial \varphi}{\partial x} \right) + \frac{\rho_0 h}{D} \frac{\partial^2}{\partial t^2} \left(\frac{\partial \varphi}{\partial x} \right) - \frac{\rho \omega^2}{D} \varphi &= 0 \Big|_{x=+a}, \\ - \left[\frac{\partial^4}{\partial y^4} \left(\frac{\partial \varphi}{\partial x} \right) + \frac{\rho_0 h}{D} \frac{\partial^2}{\partial t^2} \left(\frac{\partial \varphi}{\partial x} \right) - \frac{\rho \omega^2}{D} \varphi &= 0 \Big|_{x=-a} \end{aligned} \right\}. \quad (23)$$

Производную $\frac{\partial^2}{\partial t^2} \left(\frac{\partial \varphi}{\partial x} \right)$ можно преобразовать:

$$\frac{\partial^2}{\partial t^2} \left(\frac{\partial \varphi}{\partial x} \right) = \frac{\partial^2}{\partial t^2} \left[\frac{\partial \varphi_0(x, y)}{\partial x} e^{j\omega t} \right] = -\omega^2 \frac{\partial \varphi}{\partial x} \quad (24)$$

Подставляя (24) в (23) и учитывая, что решение ищется в форме (3) получим:

$$\left[\beta^4 - \frac{\rho_0 h \omega^2}{D} \right] \left(\frac{\partial \varphi}{\partial x} \right) - \frac{\rho \omega^2}{D} \varphi = 0 \Big|_{x=+a},$$

$$-\left[\beta^4 - \frac{\rho_0 h \omega^2}{D}\right] \left(\frac{\partial \varphi}{\partial x}\right) - \frac{\rho \omega^2}{D} \varphi = 0 \Big|_{x=-a}.$$

Тогда, учитывая общую форму записи краевых условий (2):

$$k_1^+ = \beta^4 - \frac{\rho_0 h \omega^2}{D}, \quad k_1^- = -\left(\beta^4 - \frac{\rho_0 h \omega^2}{D}\right),$$

$$k_2^+ = k_2^- = -\frac{\rho \omega^2}{D}.$$

Аналогично:

$$l_1^+ = \alpha^4 - \frac{\rho_0 h \omega^2}{D}, \quad l_1^- = -\left(\alpha^4 - \frac{\rho_0 h \omega^2}{D}\right),$$

$$l_2^+ = l_2^- = -\frac{\rho \omega^2}{D}.$$

Для записи уравнений в безразмерной форме, положим:

$$\Omega = \frac{\omega a}{c_0}, \quad k = \frac{h^2}{12a^2}, \quad \varkappa = \frac{b}{a},$$

где c_0 – скорость звука в пластине [3]:

$$c_0^2 = \frac{E}{\rho_0(1-\nu^2)},$$

откуда

$$E = c_0^2 \rho_0 (1-\nu^2).$$

С учетом принятых обозначений можно записать:

$$D = \frac{c_0^2 \rho_0 h^3}{12} = k \rho_0 h c_0^2 a^2,$$

$$k_1^+ = \left(\frac{N}{b}\right)^4 - \frac{\omega^2}{k c_0^2 a^2} = \frac{1}{k b^4} (k N^4 - \varkappa^4 \Omega^2),$$

$$k_1^- = -\frac{1}{k b^4} (k N^4 - \varkappa^4 \Omega^2),$$

$$l_1^+ = \frac{1}{k a^4} (k M^4 - \Omega^2),$$

$$l_1^- = -\frac{1}{k a^4} (k M^4 - \Omega^2),$$

$$k_2^+ = k_2^- = l_2^+ = l_2^- = -\frac{\rho}{\rho_0} \frac{1}{k h a^4} \Omega^2.$$

Подставим эти краевые условия в результаты решения общего вида:

$$tg 2M = \frac{2 \frac{a}{h} \varkappa^4 \frac{\rho}{\rho_0} \Omega^2 (k N^4 - \varkappa^4 \Omega^2) M}{\left(\frac{\rho}{\rho_0} \frac{a}{h} \varkappa^4 \Omega^2\right)^2 - (k N^4 - \varkappa^4 \Omega^2)^2 M^2};$$

$$tg 2N = \frac{2 \frac{b}{h} \frac{\rho}{\rho_0} (k M^4 - \Omega^2) N \Omega^2}{\left(\frac{\rho}{\rho_0} \frac{b}{h} \Omega^2\right)^2 - (k M^4 - \Omega^2)^2 N^2}.$$

Кроме того, с учетом принятых обозначений, выражение (8) можно преобразовать к виду:

$$\varkappa^2 M^2 + N^2 = \varkappa^2 \left(\frac{c_0}{c}\right)^2 \Omega^2.$$

Дополнительно обозначим

$$\varepsilon_0 = \frac{\rho}{\rho_0} \frac{a}{h}.$$

В итоге получим систему трех нелинейных уравнений с тремя неизвестными: N , M и Ω :

$$\left. \begin{aligned} tg 2M &= \frac{2 \varepsilon_0 \varkappa^4 \Omega^2 (k N^4 - \varkappa^4 \Omega^2) M}{\left(\varepsilon_0 \varkappa^4 \Omega^2\right)^2 - \left(k N^4 - \varkappa^4 \Omega^2\right)^2 M^2}, \\ tg 2N &= \frac{2 \varepsilon_0 \varkappa \Omega^2 (k M^4 - \Omega^2) N}{\left(\varepsilon_0 \varkappa \Omega^2\right)^2 - \left(k M^4 - \Omega^2\right)^2 N^2}, \\ \varkappa^2 M^2 + N^2 &= \varkappa^2 \left(\frac{c_0}{c}\right)^2 \Omega^2. \end{aligned} \right\}$$

Эта система может быть решена методом простых итераций [4].

Получим соотношения для собственных форм колебаний в этом частном случае. Как и прежде, выражения $X(x)$ и $Y(y)$ будем искать с точностью до постоянного множителя.

В соответствии с (4) и (13), можно записать:

$$X(x) = \cos \alpha x - \frac{A_{11}}{A_{12}} \sin \alpha x. \quad (25)$$

При этом полагается, что решение ищется с точностью до постоянного множителя и $A_{12} \neq 0$.

Преобразуем выражения (11) для рас-

Таблица 2. Собственные частоты системы с абсолютно жесткими и податливыми стенками

n	m	$f_{жест.}, Гц$	$f_{подат.}, Гц$	n	m	$f_{жест.}, Гц$	$f_{подат.}, Гц$
1	0	825	851,8	1	1	1375	1413
0	1	1100	1127	2	0	1650	1664

смаатриваемого частного случая:

$$\left. \begin{aligned} A_{11} &= \left[\frac{kN^4 - \kappa^4 \Omega^2}{kb^4} M \sin M + \frac{\rho}{\rho_0} \frac{1}{kha^3} \Omega^2 \cos M \right], \\ A_{12} &= \frac{kN^4 - \kappa^4 \Omega^2}{kb^4} M \cos M - \frac{\rho}{\rho_0} \frac{1}{kha^3} \Omega^2 \sin M. \end{aligned} \right\} (26)$$

Подставляя (26) в (25), получим:

$$X(x) = \cos \frac{Mx}{a} + \frac{\frac{kN^4 - \kappa^4 \Omega^2}{kb^4} M \sin M + \frac{\rho}{\rho_0} \frac{1}{kha^3} \Omega^2 \cos M}{\frac{kN^4 - \kappa^4 \Omega^2}{kb^4} M \cos M - \frac{\rho}{\rho_0} \frac{1}{kha^3} \Omega^2 \sin M} \sin \frac{Mx}{a}. (27)$$

Проводя аналогичные преобразования, получим выражение для $Y(y)$:

$$Y(y) = \cos \frac{Ny}{b} + \frac{(kM^4 - \Omega^2)N \sin N + \frac{\rho}{\rho_0} \frac{b}{h} \Omega^2 \cos N}{(kM^4 - \Omega^2)N \cos N - \frac{\rho}{\rho_0} \frac{b}{h} \Omega^2 \sin N} \sin \frac{Ny}{b}. (28)$$

Соотношения (27) и (28) позволяют определить собственные формы колебаний.

В качестве модельного примера возьмем ранее рассмотренный канал с размерами 0,2x0,15 м. Ограничим его тонкими стенками одинаковой толщины $h = 2 \cdot 10^{-4}$ м, выполненными из стали ($E = 2 \cdot 10^{11}$ Па, $\rho_0 = 7800$ кг/м³).

Для решения полученной системы нелинейных уравнений в качестве начального приближения для первой итерации целесообразно брать результаты, полученные для случая с абсолютно жесткими стенками. При этом решение быстро сходится. Результаты расчета собственных частот первых четырех форм колебаний приведены в табл. 2. В этой

же таблице приведены значения собственных частот аналогичных форм для случая с абсолютно жесткой стенкой.

Из рассмотрения табл. 2 видно, что собственные частоты объема жидкости, ограниченного упругой (податливой) стенкой несколько выше, чем для случая абсолютно жесткой стенки. При этом линии пучности не совпадают с границами области, а находятся на некотором (достаточно небольшом) расстоянии от них.

Необходимо отметить, что в последнем частном случае рассмотрены только собственные частоты жидкости. Если мы будем рассматривать всю систему в комплексе, то в спектр собственных частот будут добавлены собственные частоты упругих стенок.

Работа выполнена при поддержке Российского фонда фундаментальных исследований, проект № 06-08-01437-а.

СПИСОК ЛИТЕРАТУРЫ

1. Скучик Е. Основы акустики. Том 1. М.: Мир, 1976.
2. Кошляков И.С. и др. Уравнения в частных производных математической физики. М.: Высшая школа, 1970.
3. Бабаков И.М. Теория колебаний. М.: Дрофа, 2004.
4. Формалев В.Ф., Ревизников Д.Л. Численные методы. М.: Физматлит, 2004.

ANALYSIS OF MODAL FREQUENCIES AND FORMS OF FLUID OSCILLATIONS AT 2-D RECTANGULAR AREA

© 2007 V.I. Astafiev¹, A.B. Prokofiev², E.V. Shakhmatov²

¹Samara State University

²Samara State Aerospace University

The mathematical model for calculation of modal frequencies and forms of liquid (gas) fluctuations in section of the rectangular channel is submitted at a formulation of boundary conditions in a general form. A number of special cases of boundary conditions are considered: absolutely rigid walls of the channel and elastic walls of the channel. Some results of modelling are presented on the basis of the developed mathematical model.